

استعمال الخوارزمية الجينية للتنبؤ بنموذج الخطأ المكاني لتباين توزيع كاما متعدد المتغيرات

“Using Genetic Algorithm to Predict Spatial Error Model for Multivariate Variance Gamma Distribution”

م. د. سرمد عبدالخالق صالح

قسم الرياضيات /كلية التربية للعلوم الصرفة/ جامعة الحمدانية/ العراق.

sarmadsalih@uohamdaniva.edu.iq

المستخلص

تهدف الدراسة الى استخدام أسلوب جديد يقوم على اعتماد نموذج الخطأ المكاني كبديل عن نموذج الانحدار الاعتيادي بالإضافة الى استثمار تقنية الشبكات العصبية الاصطناعية في هذا المجال، اي بمعنى أن تكون مشاهدات حد الخطأ ترتبط مكانيًا فيما بينها، وبافتراض كون النموذج يتبع تباين توزيع كاما متعدد المتغيرات، تم اجراء عملية التنبؤ بأسعار الأسهم المالية في العراق. اما فيما يتعلق بنموذج الخطأ المكاني الذي يحتوي على معلمة التأثير المكاني، فضلاً عن معلمات تباين توزيع كاما متعدد المتغيرات. وتم استعمال تقنية الخوارزمية الجينية (الوراثية) لتقدير معلمات النموذج، وأن تكون مصفوفة التجاورات المكانية عبارة عن مصفوفة (Rook). وطبقت النتائج التي تم الوصول إليها على مجاميع من البيانات الحقيقية المتعلقة بسوق الاوراق المالية في العراق ولقطاع المصارف والصناعة والزراعة. وبالاستعانة ببرنامج Matlab R2020a و SPSS أظهرت نتائج تقنية الخوارزمية الجينية تفوقها على طريقة الامكان الاعظم للتنبؤ بنموذج الخطأ المكاني لتباين توزيع كاما متعدد المتغيرات مقارنة مع نموذج الانحدار الاعتيادي ونموذج انحدار كاما وتقنية الشبكات العصبية الاصطناعية، وذلك بالاعتماد على معياري متوسط مربعات الخطأ ومتوسط النسبة المطلقة للخطأ.

الكلمات المفتاحية: نموذج الخطأ المكاني، تقنية الخوارزمية الجينية (الوراثية)، مصفوفة التجاورات المكانية، تباين توزيع كاما متعدد المتغيرات، نموذج انحدار كاما، تقنية الشبكات العصبية الاصطناعية.

Abstract

The study aims to use a new method based on adopting the spatial error model as an alternative to the regular regression model in addition to investing in artificial neural networks technology in this field, meaning that the observations of the error term are spatially linked to each other, and assuming that the model follows multivariate variance gamma distribution, the process of predicting stock prices in Iraq was carried out. As for the spatial error model, which contains the spatial effect parameter as well as the variance parameters of the multivariate gamma distribution. The genetic algorithm technique was used to estimate the model parameters and the spatial adjacency matrix was a (Rook) matrix. The results reached were applied to groups of real data related to the stock market in Iraq and to the banking, industrial and agricultural sectors. Using the (**Matlab R2020a**) and SPSS program, the results of the genetic algorithm technique showed its superiority over the maximum likelihood method for predicting the spatial error model for the multivariate variance gamma distribution compared to the regular regression model, the gamma regression model, and the artificial neural network technique, based on the criteria of the mean square error and the mean absolute error ratio.

Keywords: Spatial Error Model, Genetic Algorithm Technique, Spatial Adjacency Matrix, Multivariate Variance Gamma Distribution, Gamma Regression Model, Artificial Neural Network Technique.

Introduction

المقدمة (1)

تعد استقلالية الاخطاء لنموذج الانحدار المختلفة من أهم الفروض الاحصائية الواجب توفرها في تحليل البيانات، الا أن وجود ارتباطات بين المشاهدات الظاهرة المدروسة الذي ما يعرف بالارتباط الذاتي يعد مخالفة لهذه الشروط ، لذا يجب علينا عند تحليل البيانات اخذ ذلك بنظر الاعتبار بمعنى اخر يجب الاعتماد على نماذج اكثر عمومية منها نموذج الخطأ المكاني والذي ينص على ان يكون هناك ارتباط مكاني بين مشاهدات الخطأ العشوائي ويكون قابل للتطبيق عندما يحدث الارتباط المكاني التلقائي كمشكلة ناتجة عن تحديد خاطئ أو تحديد غير كافٍ للمشاهدات المكانية والهدف من النموذج هو تصحيح الخطأ المكاني.

تبين توزيع كاما متعدد المتغيرات يعُد من التوزيعات الاحتمالية المستمرة الذي ينتج من دمج توزيع كاما مع التوزيع الطبيعي المنحرف متعدد المتغيرات، فضلاً على انه من التوزيعات الاحتمالية المنحرفة الذي له دور كبير للتطبيق في مختلف القطاعات الاقتصادية وذلك لعدة حالة خاصة من توزيع القطع الزائد الموسع الذي يتضمن مختلف التوزيعات الاحتمالية المستمرة.

قام كل (علي وهادي، 2014) بتقدير نموذج الانحدار الذاتي المكاني ونموذج الخطأ المكاني لمعرفة أهمية التحليل المكاني لبيانات المسح الاقتصادي والاجتماعي للأسرة لسنة (2012)، ومن خلال الدراسة تبين وجود الاعتمادية المكانية عن طريق اختبار موران ومضاعف لاكرانج الحصين، وان عملية تجاهل هذه الاعتمادية يؤدي الى فقدان معلومات مهمة في عملية تحليل البيانات، فضلاً عن استعمال عدة مصفوفات تجاورات مكانية التي تأخذ بنظر الاعتبار تأثير الجوارات واستنتاج الباحثان تفوق نموذج الانحدار الذاتي المكاني على نموذج الانحدار الاعتيادي، بالاعتماد على معايير مقارنة عديدة.

كذلك درس كل من (Gallaugher & McNicholas 2019) ثلاثة توزيعات احتمالية منحرفة، وهم توزيع مصفوفة القطع الزائد المعتمم وتبالن توزيع مصفوفة كاما وتوزيع مصفوفة معكوس كاوس الطبيعي، فضلاً عن دراسة خصائص التوزيعات والتطبيق على مثال حقيقي لبيان أهمية التوزيعات المنحرفة.

كما قدر كل من (مخليف وعبد الرحيم، 2022) معلمات نموذج الانحدار اللخطي والمتمثل بنموذج الانحدار اللوجستي اللوغاريتمي بالاعتماد على الخوارزمية الجينية، فضلاً عن الطرائق الكلاسيكية، وهي طريقة المربعات الصغرى الموزونة والامكان الاعظم والتطبيق على بيانات حقيقة تتعلق بالمرضى المصابين بأمراض القلب، ومن خلال معايير المقارنة تفوقت طريقة المربعات الصغرى الموزونة على الخوارزمية الجينية والامكان الاعظم.

إن عملية الوصول إلى تقدير مثالي لمعلمات تبالن توزيع كاما متعدد المتغيرات نوعاً ما أقرب إلى المستحيل بالطرق الكلاسيكية، لذلك سيتم اللجوء إلى استخدام تقنية الخوارزمية الجينية لغرض حل المسألة. الدراسات الحديثة تعتمد على التداخل أو التوليف بين مختلف الاتجاهات للعلوم، موضوع التداخل يوسعه أن يستفيد من المزايا الكثيرة لهذه العلوم وتوظيفها في اتجاه خدمة المجالات الأخرى، والابتعاد أو محاولة تجاوز العيوب الموجودة في بعض الطرائق عبر استخدام الحلول المتوفرة في الاتجاه الموظف فيه. إلا أن موضوع التوظيف في مختلف العلوم أمر معقد ويحتاج إلى معرفة كافية في كلا الاتجاهين المستخدمين لتحقيق النتائج المثلث، وعلى هذا الأساس اعتمد هذا البحث على توظيف مزايا تقنية الخوارزمية الجينية في عملية تقدير معلمات تبالن توزيع كاما متعدد المتغيرات، واستخدام نموذج الخطأ المكاني كبديل للانحدار الخطى الاعتيادي وتقنية الشبكات العصبية الاصطناعية لغرض اجراء عملية التنبؤ بأسعار الأسهم المالية في العراق ولمختلف القطاعات.

قسم البحث على جانبيين، احتوى الجانب النظري وصفاً لنموذج الخطأ المكاني لتبالن توزيع كاما متعدد المتغيرات فضلاً عن استعمال طريقة الامكان الاعظم لتقدير دالة النموذج ووصف الخوارزمية الجينية وكيفية استعمالها في عملية تقدير معلمات نموذج الخطأ المكاني لتبالن توزيع كاما متعدد المتغيرات. اما الجانب التطبيقي تضمن تطبيق ماتم ذكره في الجانب النظري على ثلاثة قطاعات لبيانات حقيقة تتعلق بأسعار الاسهم المالية في العراق وتم دراسة شرتكتين لكل قطاع. واخيراً عرض أهم الاستنتاجات والتوصيات التي تم التوصل إليها من خلال النتائج.

Multivariate Variance Gamma Distribution

(2) تباين توزيع كاما متعدد المتغيرات:

تباين توزيع كاما متعدد المتغيرات من التوزيعات الاحتمالية العشوائية المستمرة والذي نتج من دمج توزيعين احتماليين مستمرتين والمتمنتين بتوزيع الطبيعي متعدد المتغيرات المنحرف بالمعلمات $(\underline{\gamma}, \underline{\mu}, \sigma^2 I_n)$ وتوزيع كاما بالمعلمات (α, σ^2) اي بمعنى معلمة الشكل هي ذاتها معلمة القياس. وان المعلمة $(\underline{\gamma})$ تمثل متوجه الانحراف والـ $(\underline{\mu})$ متوجه الموقع و (σ^2) معلمة التباين وعلى هذا الأساس عد تباين توزيع كاما متعدد المتغيرات من التوزيعات المنحرفة التي لها تطبيقات واسعة في مختلف مجالات القطاعات الاقتصادية وذلك لاحتسابه حالة خاصة من توزيع القطع الزائد المعجم، وان دالة الكثافة الاحتمالية العشوائية له تكون كالتالي: (Gallaugher & McNicholas, 2019)

$$f(\underline{Y}) = \frac{2 \left(\frac{1}{2}\right)^{\frac{n}{2}} (\alpha)^{\alpha} (\Gamma(\alpha))^{-1} \left(\frac{(\underline{Y} - \underline{\mu})^T (\underline{Y} - \underline{\mu})}{\sigma^2} \right)^{\frac{\alpha}{2} - \frac{n}{4}}}{\left(\Gamma \left(\frac{1}{2} \right) \right)^n (\sigma^2)^{\frac{n}{2}} e^{-\frac{(\underline{Y} - \underline{\mu})^T \underline{\gamma}}{\sigma^2}} \left(\frac{\underline{\gamma}^T \underline{\gamma}}{\sigma^2} + 2\alpha \right)^{\frac{\alpha}{2} - \frac{n}{4}}} * H_{\alpha - \frac{n}{2}} \left(\text{sqrt} \left(\left(\frac{(\underline{Y} - \underline{\mu})^T (\underline{Y} - \underline{\mu})}{\sigma^2} \right) \left(\left(\frac{\underline{\gamma}^T \underline{\gamma}}{\sigma^2} + 2\alpha \right) \right) \right) \right) \quad ... (1)$$

اذا ان $\alpha > 0$ ، وان $H_r(\cdot)$ تمثل دالة هانكل (Hankel function) من الرتبة (r) ومعرفة حسب المعادلة الآتية: (Koudou & Ley, 2014)

$$H_r(\text{sqrt}(\cdot)) = \int_0^\infty x^{-(1-r)} \left(2 e^{\frac{-1}{2}(\text{sqrt}(\cdot))[-\frac{1}{x}-x]} \right)^{-1} dx \quad ... (2)$$

(3) وصف نموذج الخطأ المكاني لتباين توزيع كاما متعدد المتغيرات:

Description of the Spatial Error Model for Multivariate Variance Gamma Distribution

يفترض في هذا النموذج ان تكون الاخطاء مرتبطة مكانيًّا، على خلاف فرضيات استقلال الاخطاء للنموذج التقليدية وان الهدف منه هو تصحيح الخطأ المكاني وتكون طريقة المربعات الصغرى الاعتيادية لتقدير معلمات النموذج

غير كفؤة الا انها تكون غير متحيزة في الوقت نفسه. والصيغة الرياضية للنموذج تكون كالتالي: (ابو الشعير والصراف 2018، Yildirim & Mert Kantar, 2020)

$$\underline{Y} = \underline{X}\underline{\theta} + \underline{\epsilon} \quad \dots (3)$$

إذا إن:

$$\underline{\epsilon} = \beta \underline{W}\underline{\epsilon} + \underline{e}$$

$$\underline{\epsilon} = (\underline{I}_n - \beta \underline{W})^{-1} \underline{e} \quad , \quad \underline{e} \sim N(\underline{0}, \sigma^2 \underline{I}_n)$$

وأن (W) تمثل مصفوفة التجاورات المكانية ذات بعد ($n \times n$) اذا كانت (i, j) متقابلة فان ($w_{ij} = 1$ ، أما إذا كانت (i, j) متباعدة فان ($w_{ij} = 0$)، وفي هذا البحث تم استعمال مصفوفة تجاورات (*Rook*) والتي تكون كالاتي: (ابو الشعير والصراف، 2018)

$$W = \begin{bmatrix} 0 & 0 & 0 & 0 \\ 0 & 0 & 1 & 1 \\ 0 & 1 & 0 & 1 \\ 0 & 1 & 1 & 0 \end{bmatrix}$$

وان (β) تمثل معلمة التأثير او التأثير المكاني التي تصف قوة الاستجابة المكانية، وأن قيمة هذه المعلمة تكون ما بين (-1) و (1) وان (X) عبارة عن مصفوفة المشاهدات المؤثرة ذات بعد ($n \times k$) وان (k) تمثل عدد المتغيرات المؤثرة وان ($\underline{\theta}$) عبارة عن متوجه معلمات نموذج الخطأ المكاني ذات بعد ($1 \times k$) و ($\underline{\epsilon}$) عبارة عن متوجه الاحطاء العشوائية ذات بعد ($n \times 1$).

وبالإمكان كتابة المعادلة (3) بالشكل الآتي: (Abd Alwahab & Shimal, 2023)

$$\underline{Y} = \underline{X}\underline{\theta} + (\underline{I}_n - \beta \underline{W})^{-1} \underline{e} \quad \dots (4)$$

وتحت افتراض ان يكون حد الخطأ يتبع تباين توزيع كما متعدد المتغيرات وبالاستعانة بمفهوم التوزيعات الخلبلطة اي خلط التوزيع الطبيعي متعدد المتغيرات المنحرف وتوزيع كما فان دالة الكثافة الاحتمالية لمتجه الاحطاء العشوائية تكون كالاتي:

$$f(\underline{\epsilon}) = \int_0^\infty f(\underline{\epsilon}|Z) * P(Z) dZ$$

وان (Z) عبارة عن متغير عشوائي له توزيع كما بالمعملات (α, α). ($\underline{\epsilon}|Z$) تمثل دالة كثافة الاحتمال للاحطاء العشوائية الشرطية التي تتبع التوزيع الطبيعي متعدد المتغيرات المنحرف.

$$\begin{aligned}
 f(\underline{\epsilon}) &= \int_0^\infty \frac{\left(2 \left(\Gamma\left(\frac{1}{2}\right)\right)^2\right)^{-\frac{n}{2}} \left(\frac{1}{Z}\right)^{\frac{n}{2}} |I_n - \beta W|^{\frac{1}{2}}}{(\sigma^2)^{\frac{n}{2}} e^{\frac{1}{2\sigma^2 Z} (\underline{\epsilon} - \gamma Z)^T (I_n - \beta W) (\underline{\epsilon} - \gamma Z)}} * \frac{\alpha^\alpha Z^{\alpha-1}}{\Gamma(\alpha) e^{(\alpha Z)}} dZ \\
 f(\underline{\epsilon}) &= \frac{2 \left(\frac{1}{2}\right)^{\frac{n}{2}} (\alpha)^\alpha (\Gamma(\alpha))^{-1} |I_n - \beta W|^{\frac{1}{2}} \left(\frac{(\underline{\epsilon})^T (I_n - \beta W) (\underline{\epsilon})}{\sigma^2}\right)^{\frac{\alpha}{2} - \frac{n}{4}}}{\left(\Gamma\left(\frac{1}{2}\right)\right)^n (\sigma^2)^{\frac{n}{2}} e^{-\frac{(\underline{\epsilon})^T (I_n - \beta W) \gamma}{\sigma^2}} \left(\frac{\gamma^T \gamma}{\sigma^2} + 2\alpha\right)^{\frac{\alpha}{2} - \frac{n}{4}}} \\
 &\quad * H_{\alpha-\frac{n}{2}} \left(\text{sqrt} \left(\left(\frac{(\underline{\epsilon})^T (I_n - \beta W) (\underline{\epsilon})}{\sigma^2} \right) \left(\left(\frac{\gamma^T \gamma}{\sigma^2} + 2\alpha \right) \right) \right) \right) \quad ... (5)
 \end{aligned}$$

وبما ان متجة متغير الاستجابة عبارة تركيبة خطية بدلالة متجه الاخطاء العشوائية ($\underline{\epsilon}$) فان دالة الكثافة الاحتمالية له ايضا تتبع تباين توزيع كاما متعدد المتغيرات وكالاتي:

$$\begin{aligned}
 f(\underline{Y}) &= \frac{2 \left(\frac{1}{2}\right)^{\frac{n}{2}} (\alpha)^\alpha (\Gamma(\alpha))^{-1} |I_n - \beta W|^{\frac{1}{2}} \left(\frac{(\underline{Y} - X\underline{\theta})^T (I_n - \beta W) (\underline{Y} - X\underline{\theta})}{\sigma^2}\right)^{\frac{\alpha}{2} - \frac{n}{4}}}{\left(\Gamma\left(\frac{1}{2}\right)\right)^n (\sigma^2)^{\frac{n}{2}} e^{-\frac{(\underline{Y} - X\underline{\theta})^T (I_n - \beta W) \gamma}{\sigma^2}} \left(\frac{\gamma^T \gamma}{\sigma^2} + 2\alpha\right)^{\frac{\alpha}{2} - \frac{n}{4}}} \\
 &\quad * H_{\alpha-\frac{n}{2}} \left(\text{sqrt} \left(\left(\frac{(\underline{Y} - X\underline{\theta})^T (I_n - \beta W) (\underline{Y} - X\underline{\theta})}{\sigma^2} \right) \left(\left(\frac{\gamma^T \gamma}{\sigma^2} + 2\alpha \right) \right) \right) \right) \quad ... (6)
 \end{aligned}$$

ونصف المعادلة (6) بالشكل الآتي:

$$\underline{Y} \sim MVG(X\underline{\theta}, \sigma^2 (I_n - \beta W)^{-1}, \underline{\gamma}, \alpha)$$

(4) تقدیر الامکان الأعظم لدالة الخطأ المکانی لتباين توزيع کاما متعدد المتغيرات:

Maximum likelihood Estimation of the Spatial Error Function for the multivariate Variance Gamma Distribution:

في هذه الطريقة ولنموذج الخطأ المکانی فإن الاهتمام يكون بمعلمة التأثير المکانی (β) التي توضح الارتباط بين الباقي؛ نظراً لصعوبة الحصول على مقدر الإمكان الأعظم من المعادلة رقم (6)، فقد تم الاستعانة بمفهوم التوزيعات الخليطة، وعليه فان تقدیر الإمكان الأعظم لنموذج الخطأ المکانی لتباين توزيع کاما متعدد المتغيرات يكون كالتالي: (أبو الشعير والصراف, 2018)

$$L(\underline{Y}|\underline{Z}) = \frac{\left(2 \left(\Gamma\left(\frac{1}{2}\right)\right)^2\right)^{-\frac{n}{2}} \left(\frac{1}{\underline{Z}}\right)^{\frac{n}{2}} |\underline{I}_n - \boldsymbol{\beta} \underline{W}|^{\frac{1}{2}}}{(\sigma^2)^{\frac{n}{2}} e^{\frac{1}{2\sigma^2 \underline{Z}} (\underline{Y} - \underline{X}\underline{\theta} - \underline{\gamma}\underline{Z})^T (\underline{I}_n - \boldsymbol{\beta} \underline{W})(\underline{Y} - \underline{X}\underline{\theta} - \underline{\gamma}\underline{Z})}} \dots (7)$$

المعادلة (7) تمثل دالة الامکان لنموذج الخطأ المکانی الطبيعي متعدد المتغيرات المنحرف. وان (Z) عبارة عن متغير عشوائي له توزيع کاما بالمعلمات (α, α), ودالته تكون كالتالي: (Bhaumik, Kapur & Gibbons, 2009)

$$P(Z) = \frac{\alpha^\alpha Z^{\alpha-1}}{\Gamma(\alpha) e^{(\alpha Z)}}, Z > 0 \dots (8)$$

بعد اخذ اللوغارتم الطبيعي للمعادلة (7) وإجراء عملية المشتقة الاولى نسبة الى متوجه المعلمات ($\underline{\theta}$) نحصل على الآتي:

$$\begin{aligned} \frac{\partial \ln L(\underline{Y}|\underline{Z})}{\partial \underline{\theta}^T} = & -\frac{1}{2\sigma^2 \underline{Z}} (-2\underline{X}^T (\underline{I}_n - \boldsymbol{\beta} \underline{W}) \underline{Y} + 2\underline{X}^T (\underline{I}_n - \boldsymbol{\beta} \underline{W}) \underline{X} \underline{\theta} \\ & + 2\underline{X}^T (\underline{I}_n - \boldsymbol{\beta} \underline{W}) \underline{\gamma} \underline{Z}) \end{aligned} \dots (9)$$

بعد مساواة المعادلة (9) بالصفر واجراء عملية التكامل نسبة الى المتغير العشوائي (Z) نحصل على الاتي:

$$\hat{\underline{\theta}} = (\underline{X}^T (\underline{I}_n - \boldsymbol{\beta} \underline{W}) \underline{X})^{-1} \underline{X}^T (\underline{I}_n - \boldsymbol{\beta} \underline{W}) \underline{Y} - (\underline{X}^T (\underline{I}_n - \boldsymbol{\beta} \underline{W}) \underline{X})^{-1} \underline{X}^T (\underline{I}_n - \boldsymbol{\beta} \underline{W}) \underline{\gamma}$$

$$* \frac{\Gamma(\alpha+1)}{2^\alpha \Gamma(\alpha)} (\alpha)^{-0.5} \dots (10)$$

وبافتراض أن تكون معلمة التأثير المکانی معلومة، فإن المعادلة (10) تمثل تقدیر الإمكان الأعظم لمتجه المعلمات ($\underline{\theta}$) لنموذج الخطأ المکانی لتباين توزيع کاما متعدد المتغيرات.

Genetic Algorithm Technique

(5) تقنية الخوارزمية الجينية:

تكمّن فكرة الخوارزمية الجينية باستخدام مفهوم التطور الجيني لإيجاد الحلول المثلث وتصنف على أنها طريقة من طرق البحث الشامل وتعتبر من البيولوجيا الطبيعية مثل الطفرة والتوريث والتهجين، وتتلخص في عملية توليد بعض الحلول للمسألة عشوائياً، ثم يتم فحص تلك الحلول ومقارنتها من خلال عدة معايير يضعها مصمم الخوارزمية، والحلول المثلث هي التي تبقى، أما الحلول ذات الكفاءة الأقل، فيتم إهمالها استناداً إلى قاعدة (البقاء للأصلح).

والخطوة التالية هي عملية مزاوجة الحلول المثلثية لإنجاح حلول جديدة، على عكس ما يحصل في الكائنات الحية وذلك بمزج جيناتها إلا أن الفرد الجديد الناتج ستكون صفاتاته هجينه من صفات والديه وتدخل الحلول الناتجة أثناء عملية التزاوج تحت عملية الفحص والتقييم لمعرفة كفاءتها واقتراحها من الحل الأفضل، وبهذا تتم عمليات التزاوج والانتقاء حتى تصل العملية لعدد معين من التكرارات. وعليه فإن تقنيات الخوارزميات الجينية تولد بنجاح الفرضيات عن طريق تكرار الطفرة وإعادة تجميع أفضل أجزاء الفرضيات الموجودة. من مميزات تقنية الخوارزمية الجينية أن تعالج أي دالة مع القيود أو دونها سواء أكانت الدالة خطية أم غير خطية، وابعاد الحل قد يكون بعد واحد أو أكثر (Thede, 2004) وبصورة عامة فإن خطوات عمل تقنية الخوارزمية الجينية توصف كالتالي:

1- البداية (start):

تمثل البداية عملية توليد مجتمع عشوائي من الكروموسومات، أي بمعنى إيجاد حلول مناسبة لمشكلة الظاهر.

2- اللياقة (fitness):

تمثل اللياقة عملية تحويل دالة الهدف إلى دالة هدف مناسبة لإيجاد الحل في تقنية الخوارزمية الجينية.

3- المجتمع الجديد (new population):

يمثل المجتمع الجديد توليد جيل جديد بتكرار الخطوات الآتية إلى إن يكتمل الجيل، وهذه الخطوات تتضمن ما يلي:

- الاختيار (Selection): يتم اختيار اثنين من الكروموسومات من المجتمع الأولي كأداء استناداً إلى دالة اللياقة، وان القيمة الفضلى هي التي لها فرص أكبر لعملية الاختيار.
 - التداخل الإبداعي (Crossover): تعني هذه الخطوة إلى إجراء إحدى عمليات التداخل أو التعبير من أجل الحصول على الذرية وتكون العملية بين كروموسومين اثنين.
 - الطفرة (Mutation): مع احتمالية وجود الطفرة يتم عمل الطفرة للجيل الجديد بموقع معين في الكروموسوم، وتجريي بين الجينات في الكروموسوم الواحد.
 - الاستبدال (Replacement): تستبدل عملية البناء في المجتمع الجديد ليكونوا آباء في المجتمع التالي.
 - الاختبار (Test): عند تحقق شرط التوقف، فإن تقنية الخوارزمية الوراثية تتوقف وتعيد الحل الجيد من آخر جيل متكون.
 - الدورة (Loop): يتم الرجوع إلى الخطوة 2.
- إن كل تكرار لهذه العملية يسمى بالجيل، وبعد نهاية التنفيذ يقوم الباحث باستعراض تقرير عن الحقائق التي تم التوصل إليها (Fogel 1998).

(6) استعمال تقنية الخوارزمية الجينية لتقدير معلمات نموذج الخطأ المكاني لتباين توزيع كاما متعدد المتغيرات:

Using Genetic Algorithm Technique to Estimate the Parameters of the Spatial Error Model of the Multivariate Variance Gamma Distribution

إن تقنية الخوارزمية الجينية عبارة عن خوارزمية ذكية تعمل على انتخاب الحلول المثلثى من بين عدد كبير من الحلول وإجراء بعض التداخلات والتبدلات بين هذه الحلول بهدف تكوين حلول مثلثى. وبشكل عام فإن تقنية الخوارزمية الجينية تحتوي على عدداً من الخطوات المهمة والأساسية لحل مختلف المسائل. ويكون الاختلاف في أسلوب صياغة وتطبيق كل خطوة من هذه الخطوات حسب المسألة و المجال تطبيقها. وادناه توضيح لخطوات تقنية الخوارزمية الجينية لحل مسألة تقدير نموذج الخطأ المكاني لتباين توزيع كاما متعدد المتغيرات:

1. البيانات الأولية: وهي عملية قراءة قيم متغيرات مسألة الخطأ المكاني لتباين توزيع كاما متعدد المتغيرات وتتضمن:

- مشاهدات متوجه متغير الاستجابة ذات البعد $(n \times 1)$.

مصفوفة مشاهدات المتغيرات المؤثرة وتكون مصفوفة غير عشوائية ذات البعد $(n \times k)$.

تكون المصفوفة التي تمثل الإدخال للمسألة ويكون الجزءان معًا بالشكل الآتي:

$$X = \begin{bmatrix} x_1 & x_2 & \cdots & x_k & Y_{k+1} \\ x_2 & x_3 & \cdots & x_{k+1} & Y_{k+2} \\ \vdots & \vdots & & \ddots & \vdots \\ x_{n-k} & x_{n-k+1} & \cdots & x_{n-1} & Y_n \end{bmatrix}$$

تجدر الإشارة إلى أنه يجب أن تتم معايرة البيانات قبل إدخالها للشبكة؛ لأنه في حالات كثيرة تكون البيانات المعدة للتدريب ذات قيم عالية، عندئذ ينصح دائمًا بمعايرة مدخلات ومخرجات الشبكة لتصبح ضمن الفترة $(-1, 1)$ ، وللقيام بمعايرة بيانات المسألة، يتم استخدام الصيغة الآتى:

$$\hat{X} = 2 * \left(\frac{X - X_{min}}{X_{max} - X_{min}} \right) - 1 \quad \dots (11)$$

إذ إن (\hat{X}) تمثل القيم بعد المعايرة و (X) تمثل القيم الحقيقة للمتغيرات المؤثرة، كما أن (X_{max}) و (X_{min}) يمثلان أكبر وأصغر قيمة من قيم (X) على التوالي.

2. إنشاء الجيل الأولي: وبعد النقطة الأولى لحل المسألة، وتم عملية بناء الجيل الأولي بطريقة عشوائية تبعاً للتوزيع الاحتمالي المنتظم وكالآتي:

- يتم توليد قيم عشوائية لمتجه معلمات نموذج الخطأ المكاني (θ) وفق التوزيع الاحتمالي المنتظم ضمن المدة $[1, 1-U]$.
- توليد قيم عشوائية لمتجه معلمة الانحراف (γ) تبعاً للتوزيع الاحتمالي المنتظم ، فضلاً عن توليد قيمة عشوائية للمعلمة σ^2 و α و β .

إذ يتم إنشاء عدة كروموسومات أولية بحجم ($N_{population}$)، ويمثل كل كروموسوم حل متكامل للمسألة، كما أن طول الكروموسوم يكون بعدد معلمات المسألة. والشكل الآتي يوضح هيئه الكروموسوم لمسألة الخطأ المكانى لتباين توزيع كاما متعدد المتغيرات.

θ_1	θ_2	...	θ_k	γ_1	γ_2	...	γ_k	β	σ^2	A
------------	------------	-----	------------	------------	------------	-----	------------	---------	------------	---

الشكل (1): يمثل الكروموسوم الخاص بمسألة الخطأ المكانى لتباين توزيع كاما متعدد المتغيرات

3. دالة الهدف : إن دالة الهدف الخاصة بمسألة الخطأ المكانى لتباين توزيع كاما متعدد المتغيرات عبارة عن دالة الخطأ التربيعي (MSE).

4. اختيار الآباء: تتم عملية اختيار الآباء في هذه الخوارزمية على أساس انتقاء الفرد ذات المرتبة الأعلى؛ إذ تعتمد هذه الطريقة على اختيار احدى الأفراد التي تمتلك أعلى هدف، بينما يتم انتقاء الفرد الآخر عشوائياً، وتسمح هذه الطريقة بتحسين الكروموسومات بحيث تمتلك بعض الجينات الجيدة من الفرد الذي يمتلك الكلفة الأكبر. (Thede, 2004)

5. التداخل الابداي: يتمثل عمل التداخل باختيار فردين وربطهما خطياً لإنتاج نوعين جديدين من الأبناء، وهذا النوع من التداخل يسمى (Arithmetic Crossover) ويتم بتطبيق المعادلتين الآتيتين:

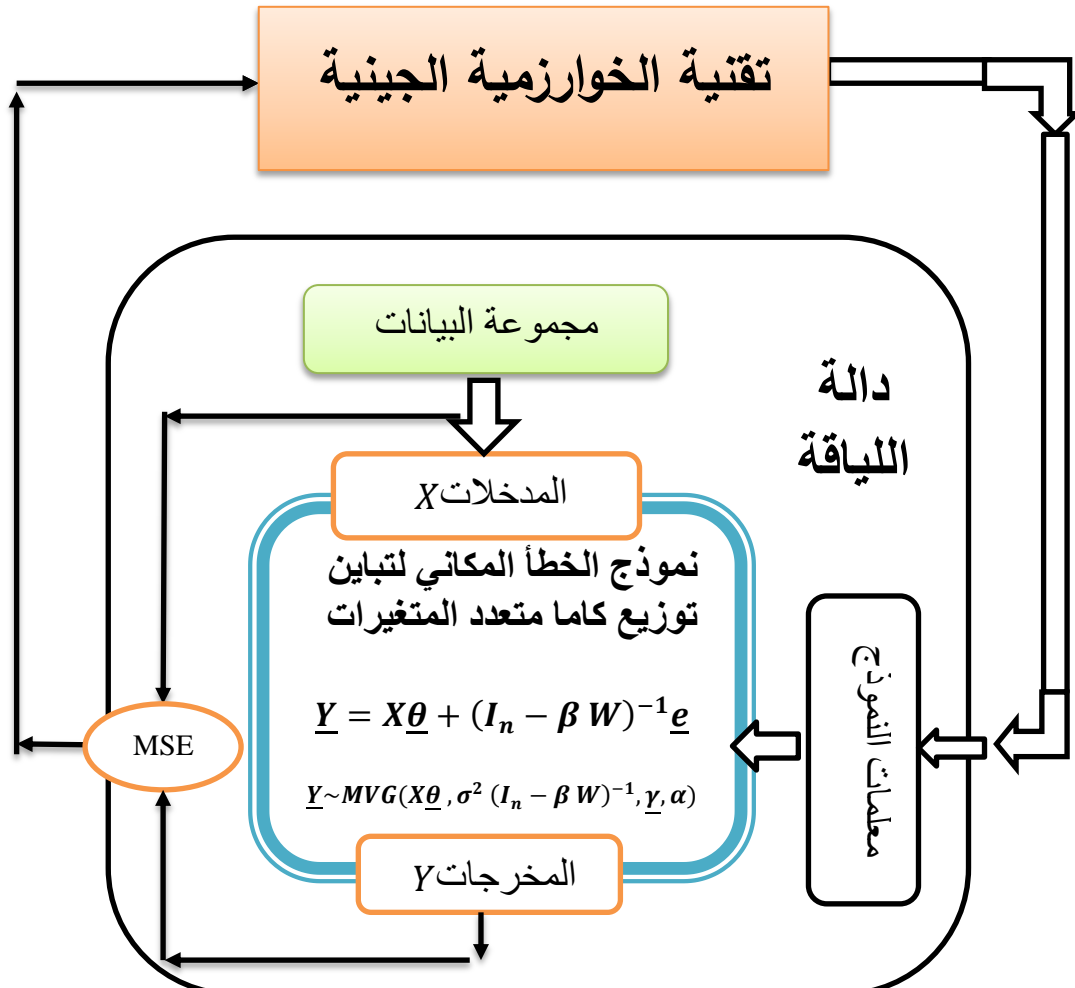
$$offspring\ 1 = b * parent\ 1 + (1 - b) * parent\ 2 \quad \dots \quad (12)$$

$$offspring\ 2 = (1 - b) * parent\ 1 + b * parent\ 2 \quad \dots \quad (13)$$

إذ أن (b) تمثل عدداً عشوائياً يتم اختياره قبل كل عملية تداخل ويكون محصوراً بين (0, 1).

6. الطفرة: تم اجراء الطفرة في هذه الخوارزمية بالاعتماد على طفرة التوزيع الاحتمالي المنتظم، إذ يتم اختيار موقع ضمن الكروموسوم ويتم استبدال قيمته بصورة عشوائية وضمن الحدود الخاصة به وباحتمالية ($P = 0.2$).

7. مقياس التوقف: يستمر تكوين الأجيال المتعاقبة (الخطوات 7-4) بهدف تحسين الحل اي يقترب الى الحل الامثل إلى أن يتحقق شرط التوقف الذي يعتمد على انهاء العدد المحدد من التكرارات، كما يمكن ايقاف تقنية الخوارزمية الجينية في حالة عدم تحسين الحل، والشكل (2) يوضح طريقة ربط تقنية الخوارزمية الجينية مع نموذج الخطأ المكانى لتباين توزيع كاما متعدد المتغيرات.



الشكل (2): يبين ربط تقنية الخوارزمية الجينية بنموذج الخطأ المكاني لتباين توزيع كاما متعدد المتغيرات.

Practical Side

(7) الجانب التطبيقي:

يتم في المبحث تطبيق ما توصل اليه في الجانب النظري على العديد من مجاميع البيانات الحقيقية المتعلقة بأسعار الاسهم المالية في العراق ولقطاع المصارف والصناعة والزراعة للفترة من 1/6/2018 لغاية 1/6/2023، فضلاً عن مناقشة النتائج التي يتم الحصول عليها استناداً الى برنامج Matalb R2020a.

Data Initialization

(1-7) تهيئة البيانات:

لعرض اثبات فعالية نموذج الخطأ المكاني لتباين توزيع كاما متعدد المتغيرات في التقدير والتنبؤ بأسعار الاسهم المالية في العراق تم استخدام ثلاثة قطاعات وكل قطاع استعمل شركتين والجدول (1) يبين تفاصيل بيانات الشركات المستخدمة. علماً بأن متغير الاستجابة يمثل اسعار الاسهم المالية في العراق وان المتغيرات المؤثرة كانت أعلى سعر وأدنى سعر للسهم المالي.

الجدول (1): تفاصيل البيانات الخاصة بأسعار الأسهم المالية في العراق.

نوع المشاهدات	عدد المشاهدات	الرمز	اسم الشركة	القطاع	ت
شهري	55	BIME	مصرف الشرق الاوسط	المصارف	1
شهري	59	BMFI	مصرف الموصل للاستثمار		
شهري	60	IELI	الصناعات الالكترونية	الصناعة	2
شهري	53	IKLV	الكندي للفاحات البيطرية		
شهري	51	AAHP	الاهلية للإنتاج الزراعي	الزراعة	3
شهري	56	ABAP	بابل للإنتاج الحيواني والنباتي		

قبل اجراء عملية التقدير والتنبؤ تم مطابقة البيانات الحقيقة مع تباين توزيع كاما بالاستعانة بمفهوم التوزيعات المختلطة وذلك من خلال العلاقة الآتية: (Salih & Aboudi(2021)

$$T = \frac{\epsilon - \gamma Z}{\sigma Z^{\frac{1}{2}}} \dots (14)$$

تمثل (ϵ) مشاهدات الخطأ الذي يتبع تباين توزيع كاما، و (Z) متغير عشوائي يتبع توزيع كاما ومن خلال تكامل المعادلة (14) نسبة الى المتغير العشوائي (Z) نحصل على مشاهدات الخطأ الذي يتبع تباين توزيع كاما والتي من خلالها يتم استعمال اختبار حسن المطابقة والمتمثل باختبار كولموغروف سميرنوف، اذ كانت القيم المحسوبة للاختبار ولكلة الشركات اقل من القيم الجدولية تحت دلالة إحصائية مقدارها (0.05) مما يدل على قبول الفرضية الصفرية اي بمعنى البيانات المستخدمة في عملية التقدير كانت ملائمة لتوزيع تباين كاما، فضلاً عن تباين توزيع كاما له تطبيقات خاصة وواسعة للاسهم المالية. والجدول الاتي يبين قيم الاختبار.

الجدول (2): قيم اختبار كولموغروف سميرنوف المحسوبة والجدولية.

$D(0.05, \frac{1.3581}{\sqrt{n}})$	القيمة المحسوبة	الرمز	اسم الشركة	القطاع	ت
0.1831	0.1124	BIME	مصرف الشرق الاوسط	المصارف	1
0.1761	0.1264	BMFI	مصرف الموصل للاستثمار		

0.1754	0.1050	IELI	الصناعات الالكترونية	الصناعة	2
0.1865	0.1489	IKLV	الكندي للاقاحات البيطرية		
0.1902	0.1774	AAHP	الاهلية للإنتاج الزراعي	الزراعة	3
0.1815	0.1532	ABAP	بابل للإنتاج الحيواني والنباتي		

فضلاً عن معرفة فيما إذا كانت معلمة التأثير المكاني مساوية للصفر أم لا. وتم ذلك من خلال استعمال اختبار مضاعف لاكرانج لنموذج الخطأ المكاني لاختبار الفرضية الآتية:

$$H_0: \beta = 0 \quad V.S. \quad H_A: \beta \neq 0 \quad \dots (15)$$

يبين هذا الاختبار بوجود او عدم الاعتماد المكاني في حدود الخطأ فإذا تم رفض فرضية العدم وقبول البديلة فيكون النموذج الامثل هو نموذج الخطأ المكاني وصيغة الاختبار موضحة ادناه: (ابو الشعير و الصراف, 2018)

$$LM = \left(\frac{\frac{(\epsilon' W \epsilon)}{\epsilon' \epsilon / n}}{tr(W'W + WW)} \right)^2 \quad \dots (16)$$

ويتم قبول او رفض فرضية العدم بعد مقارنة المعادلة (16) مع قيمة مربع كاي الجدولية بدرجة حرية واحدة ودلالة احصائية ($\alpha = 0.05$)، وهناك اختبار اخر يستخدم ايضاً لمعرفة فيما اذا كان هناك تأثيرات مكانية أم لا ويدعى باختبار موران (Moran Test) (ابو الشعير و الصراف, 2018). والجدول (3) يبين قيمة اختبار مضاعف لاكرانج لمجاميع البيانات الستة:

الجدول (3): قيمة اختبار مضاعف لاكرانج لمعرفة وجود الاعتماد المكاني أم لا.

قيمة التأثير المكاني β	القرار	القيمة الجدولية	قيمة اختبار مضاعف لاكرانج	الرمز
0.8240	وجود الاعتماد المكاني	3.841	10.2354	BIME
0.7471	وجود الاعتماد المكاني	3.841	19.2140	BMFI
-0.9984	وجود الاعتماد المكاني	3.841	6.3258	IELI

-0.6431	وجود الاعتماد المكانى	3.841	8.7145	IKLV
0.8510	وجود الاعتماد المكانى	3.841	33.6510	AAHP
0.7799	وجود الاعتماد المكانى	3.841	25.4369	ABAP

لتقييم اداء التنبؤ لبيانات الاسهم المالية المختلفة، تم تقسيم البيانات الى مجموعتين هما مجموعة التدريب ومجموعة الاختبار وهاتان المجموعتين مستقلتان ولا وجود لأي ترابط بينهما. إذ يتم استخدام بيانات مجموعة التدريب لغرض بناء نموذج الخطأ المكانى وتقدير معلماته، ثم يتم استخدام بيانات الاختبار لتقييم كفاءة النموذج المستخدم، وقد تم تقسيم البيانات الى 75% و 25% لبيان هيكلية مجموعة التدريب والاختبار لمجاميع البيانات على التوالي.

Comparison Criteria

(2-7) معايير المقارنة:

لغرض مقارنة اداء نماذج التنبؤ بأسعار الاسهم المالية في العراق، تم استعمال عدد من معايير الاداء لاختبار النماذج ومعرفة مدى صلاحيتها ومدى ملائمة القيم الحقيقية من القيم المقدرة. وقد تم استخدام كل من متوسط مربعات الخطأ (MSE) و متوسط النسبة المطلقة للأخطاء (MAPE) والموضعين في المعادلات (17) و(18) على التوالي.
 (ابو الشعير والصرف, 2018)

$$MSE = \frac{\sum_{i=1}^n (y_i - \hat{y}_i)^2}{n} \quad \dots (17)$$

$$MAPE = \frac{\sum_{i=1}^n (|y_i - \hat{y}_i|)}{n} \quad \dots (18)$$

تمثل (y) القيمة الحقيقية و (\hat{y}) تمثل القيمة المقدرة باستخدام التقنيات بينما تمثل (n) عدد المشاهدات.

(3-7) تقدير معلمات نموذج الخطأ المكانى لتبين توزيع كاما متعدد المتغيرات والتنبؤ:

Estimation of Spatial Error Model Parameters for Multivariate Variance Gamma Distribution and Prediction:

في هذا المبحث أُستخدم نموذج الانحدار الاعتيادي، ونموذج انحدار كاما، وتقنية الشبكات العصبية الاصطناعية؛ لغرض المقارنة مع نموذج الخطأ المكانى لتبين توزيع كاما متعدد المتغيرات، في حالة استعمال تقنية الخوارزمية الجينية وطريقة الامكان الاعظم. ويبين الجدول (4) و (6) نتائج المقارنة باستخدام المعيارين في المعادلة (17) و (18).

الجدول (4): نتائج مقارنة نموذج الخطأ المكاني لتباين توزيع كاما متعدد المتغيرات مع نموذج الانحدار الاعتيادي وانحدار كاما والشبكات العصبية الاصطناعية.

تقنية الشبكات العصبية الاصطناعية		نموذج الانحدار الاعتيادي		نموذج انحدار كاما		نموذج الخطأ المكاني لتباين توزيع كاما		المعيار	البيانات
اختبار	تدريب	اختبار	تدريب	اختبار	تدريب	اختبار	تدريب		
3.9571	2.9317	3.9571	3.2417	2.9921	2.5219	1.1014	1.9874	MSE	BIME
3.9571	2.5317	3.9571	2.7741	2.9921	2.0017	1.1014	1.7204	MAPE	
8.2147	1.1092	8.2147	1.1247	1.5625	1.0311	1.4571	0.9924	MSE	BMFI
8.2147	1.0910	8.2147	1.1114	1.5625	1.0092	1.4571	0.9651	MAPE	
11.1472	9.0147	11.1472	9.3698	10.0147	8.8621	9.2148	7.2364	MSE	IELI
11.1472	8.9214	11.1472	9.0124	10.0147	8.2147	9.2148	6.5210	MAPE	
3.3122	3.5890	0.2939	2.5897	0.2930	1.6982	0.2929	0.5899	MSE	IKLV
3.2244	3.5890	0.2097	2.5897	0.2930	1.6982	0.2179	0.5899	MAPE	
29.1470	13.9958	29.1470	15.2147	13.2410	12.9472	10.2325	12.2354	MSE	AAHP
29.1470	12.9952	29.1470	14.9952	13.2410	12.2543	10.2325	11.0145	MAPE	
9.2584	4.9987	9.2584	5.2147	3.2147	2.2317	2.9325	2.2584	MSE	ABAP
9.2584	4.4258	9.2584	5.0147	3.1147	2.2307	2.9325	2.2201	MAPE	

من خلال الجدول (4) تبين أن استعمال البرنامج الاحصائي (SPSS) لتقدير نموذج الانحدار الاعتيادي ونموذج انحدار كاما لمجاميع بيانات الجدول (4)، وتم تقدير المعلمات لمجموعة التدريب، بينما تم اختبار المعلمات المقدرة باستعمال بيانات الاختبار. (Sarle and Warren (1994).

ولغرض اجراء عملية التنبؤ، استخدم تقنية الشبكات العصبية الصناعية، اذ استخدمت شبكة عصبية متعددة الطبقات ذات الانتشار الامامي وبطبقة مخفية واحدة، واستخدمت عقدة اخراج واحدة واستعمال تنبؤ امامي متعدد الخطوات باستخدام إجراءات تكرارية (الكسو (2005) (Zhang, (1998).

كما تم اختيار عقد الادخال بقدر عدد المتغيرات المؤثرة والمتمثلة بأعلى سعر للسهم، وأدنى سعر للسهم للمجاميع القطاعات الثلاثة، مع عقد مخفية تتفاوت من (3-11) بزيادة بمقدار اثنين، لذا فإن مجموعة 8 نموذج شبكة

عصبية اصطناعية تم اختبارها قبل الوصول إلى التركيبة النهائية لنموذج الشبكة العصبية الاصطناعية. وقد تم استخدام برنامج الـ (MatlabR2020a) لبناء الشبكة وتقدير الاوزان وختبارها.

ولتقدير معلمات نموذج الخطأ المكاني لتباين توزيع كاما متعدد المتغيرات استعمل تقنية الخوارزمية الجينية، وقبل البدء بعملية تدريب المعلمات تم تحديد معلمات تقنية الخوارزمية الجينية، وذلك لغرض الحصول على أفضل نتيجة واسرع تقارب والجدول (5) يوضح معلمات الخوارزمية الجينية.

الجدول (5) معلمات تقنية الخوارزمية الجينية

المعلمة	القيمة
حجم المجتمع	60
عدد التكرارات	1500
احتمالية التعابير	0.5
احتمالية الطفرة	0.5
نوع الانتقاء	<i>Highest Rank Selection</i>
نوع التعابر	<i>Arithmetic</i>
نوع الطفرة	<i>Uniform</i>
دالة الياقة	<i>MSE</i>

والجدول (6) يبين المقارنة بين نموذج الخطأ المكاني لتباين توزيع كاما اعتماداً على طريقة الامكان الاعظم وتقنية الخوارزمية الجينية وكالآتي:

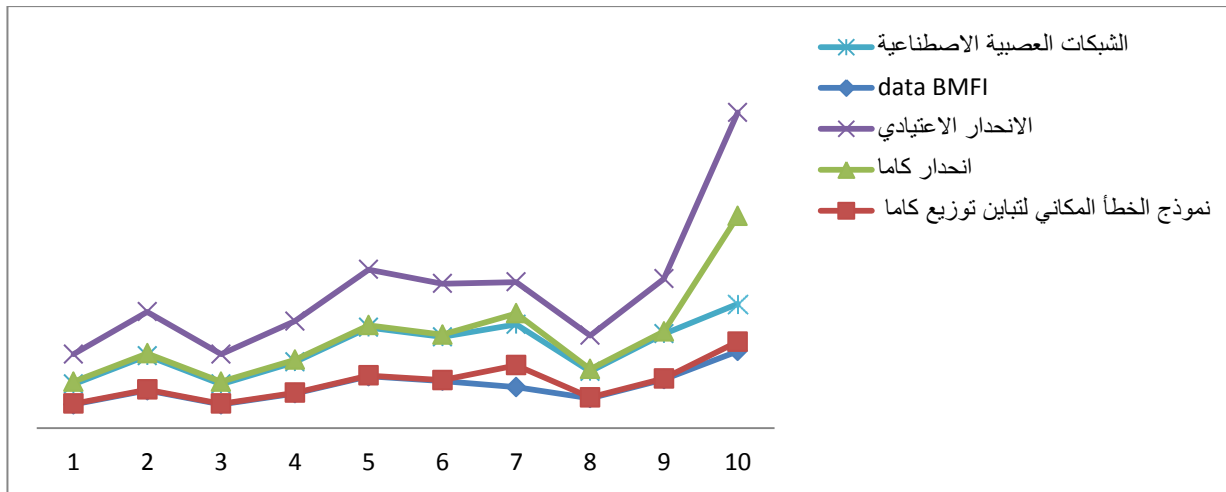
الجدول (6): قيم معايير المقارنة لنموذج الخطأ المكاني لتباين توزيع كاما بالاعتماد على طريقة الامكان الاعظم وطريقة تقنية الخوارزمية الجينية.

تقنيات الخوارزمية الجينية		طريقة الامكان الاعظم	المعيار	البيانات
اختبار	تدريب			
1.1014	1.9874	3.9321	<i>MSE</i>	
1.1014	1.7204	3.1248	<i>MAPE</i>	BIME

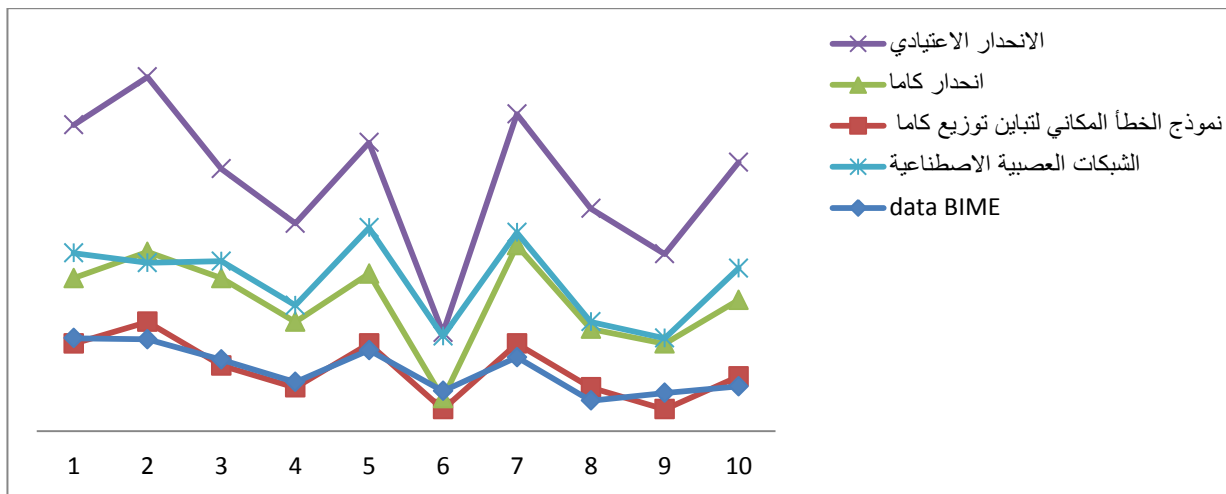
1.4571	0.9924	2.8147	MSE	BMFI
1.4571	0.9651	2.2657	MAPE	
9.2148	7.2364	14.2363	MSE	IELI
9.2148	6.5210	13.5841	MAPE	
0.2929	0.5899	2.2229	MSE	IKLV
0.2179	0.5899	3.1452	MAPE	
10.2325	12.2354	19.3214	MSE	AAHP
10.2325	11.0145	18.3257	MAPE	
2.9325	2.2584	6.3254	MSE	ABAP
2.9325	2.2201	5.9987	MAPE	

من الجدول (6) نلاحظ تفوق تقنية الخوارزمية الجينية على طريقة الامكان الاعظم لنموذج الخطأ المكاني لتباين توزيع كما و ذلك لامتلاكها اقل قيم للمعيارين متوسط مربعات الخطأ و متوسط النسبة المطلقة للخطأ.

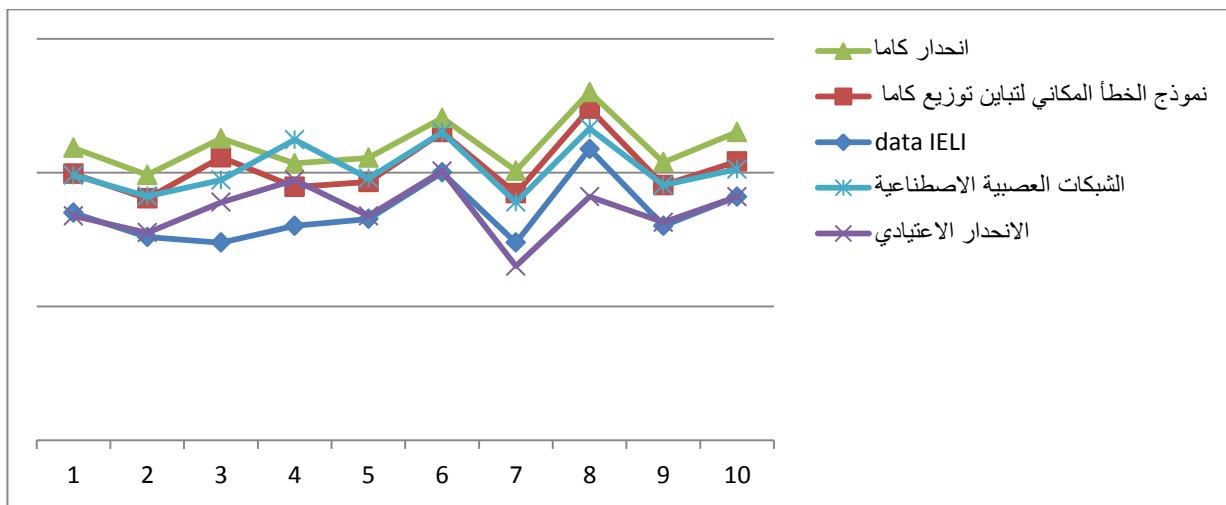
بعد تقدير معلمات نموذج الخطأ المكاني لتباين توزيع كما متعدد المتغيرات باستخدام تقنية الخوارزمية الجينية من خلال بيانات التدريب، تم اختبار كفاءة النموذج باستخدام معايير المقارنة الموضحة سابقاً على بيانات الاختبار لمعرفة افضل نموذج يمكن استخدامه للتنبؤ باسعار الاسهم المالية في العراق من النماذج الاربعة. والاشكال الاتية توضح سلوك القيم الحقيقية والمتباعدة للنماذج وللقطاعات الثلاثة وكالاتي:



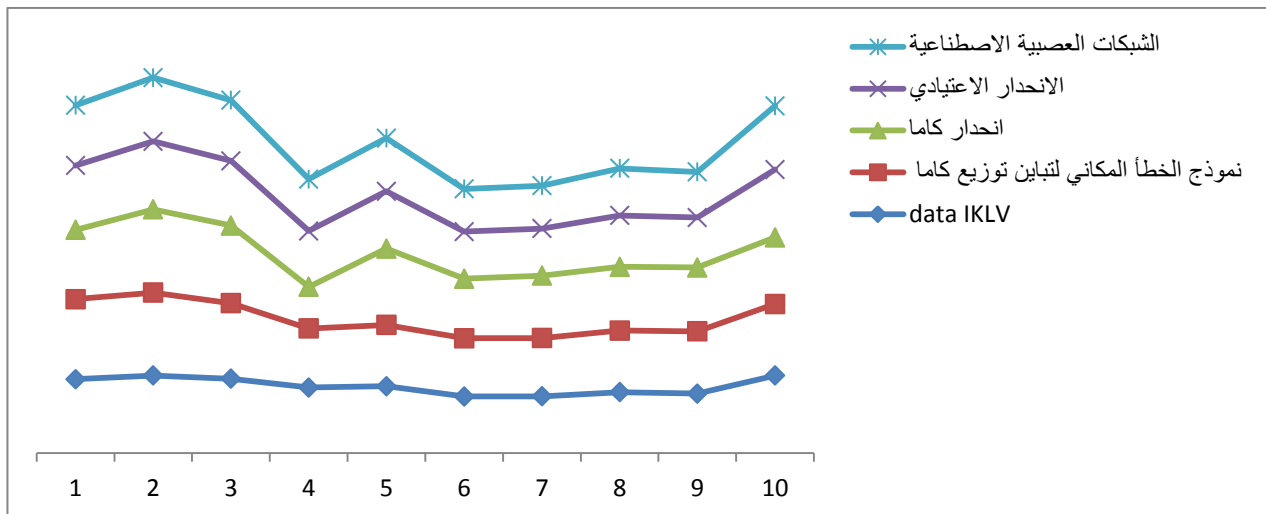
الشكل (3) : يوضح سلوك القيم الحقيقية والمتتبأ لبيانات شركة مصرف الشرق الأوسط لقطاع المصادر.



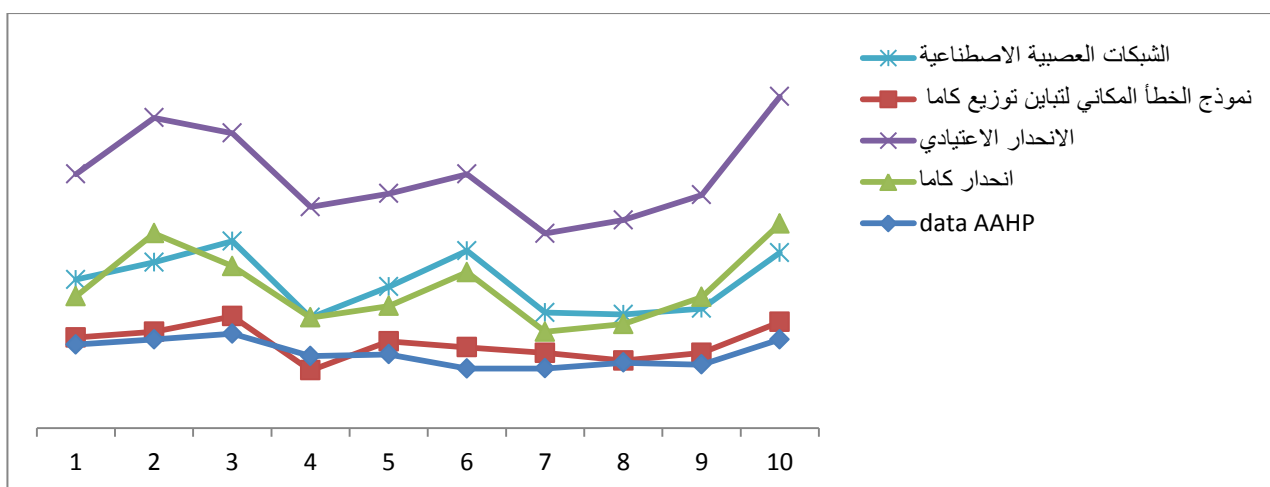
الشكل (4) : يوضح سلوك القيم الحقيقية والمتتبأ لبيانات شركة مصرف الموصل للاستثمار لقطاع المصادر.



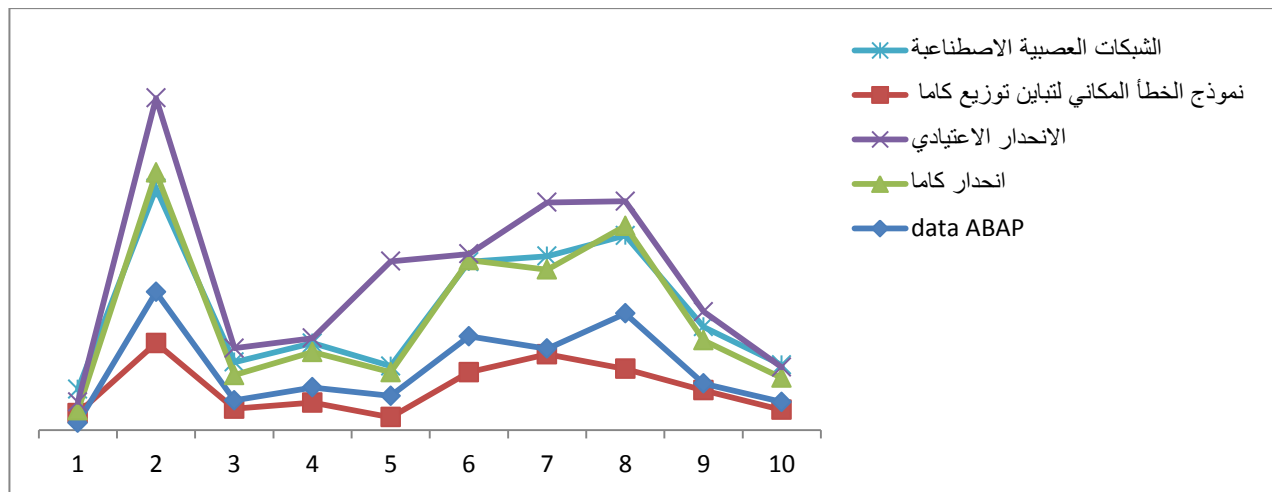
الشكل (5): يوضح سلوك القيم الحقيقية والمتتبأ لبيانات شركة الصناعات الالكترونية لقطاع الصناعة.



الشكل (6): يوضح سلوك القيم الحقيقة والمتتبأ لبيانات شركة الكندي للفاحصات البيطرية لقطاع الصناعة.



الشكل (7): يوضح سلوك القيم الحقيقة والمتتبأ لبيانات شركة الأهلية للإنتاج الزراعي لقطاع الزراعة.



الشكل (8): يوضح سلوك القيم الحقيقة والمتتبلي لبيانات شركة بابل للإنتاج الحيواني والنباتي لقطاع الزراعة.

Discussion of Results

مناقشة النتائج: (4-7)

نلاحظ من الجدول (4) و (6) والأشكال (3) و (4) و (5) و (6) و (7) و (8) بأن نموذج الخطأ المكاني لتباين توزيع كاما متعدد المتغيرات كان أفضل من نموذج الانحدار الاعتيادي ونموذج انحدار كاما وتقنية الشبكات العصبية الاصطناعية في التنبؤ بأسعار الاسهم المالية في العراق ولقطاع المصارف والصناعة والزراعة، إذ أثبتت النتائج قدرة نموذج الخطأ المكاني لتباين توزيع كاما متعدد المتغيرات على الموازنة بين التذكر (التدريب) والتنبؤ (الاختبار). وهذا يدل على قوة النموذج المستخدم في البحث وكفاءته مقارنة بالنماذج التقليدية وتقنية الشبكات العصبية الاصطناعية اللذين يستخدمان لغرض التنبؤ.

Conclusions and

(8) الاستنتاجات والتوصيات:

Recommendations

تم في هذا البحث توظيف أسلوب جديد يقوم على استخدام نموذج الخطأ المكاني لتباين توزيع كاما متعدد المتغيرات كبديل للانحدار الخطى الاعتيادي وانحدار كاما والشبكات العصبية الاصطناعية، ولغرض التنبؤ بأسعار الأسهم المالية في العراق. تم استخدام طريقة الامكان الأعظم وتقنية الخوارزمية الجينية لتقدير معلمات تباين توزيع كاما متعدد المتغيرات. وطبقت النتائج التي توصلنا إليها على العديد من البيانات الحقيقة المتعلقة بسوق الأوراق المالية ولقطاع المصارف والصناعة والزراعة اذا استعمل شركتين لكل قطاع، وذلك لاثبات كفاءة النموذج، وقد أظهرت نتائج التنبؤ تفوق نموذج الخطأ المكاني لتباين توزيع كاما متعدد المتغيرات على نموذج الانحدار الاعتيادي ونموذج انحدار كاما، والشبكات العصبية الاصطناعية في بيانات التدريب والاختبار، فضلاً عن تفوق تقنية الخوارزمية الجينية على طريقة الإمكان الأعظم في تقدير النموذج، مما يدل على فعالية النموذج لأن تباين توزيع كاما متعدد المتغيرات توزيعاً منحرفاً شاملاً يستطيع احتواء جميع الطواهر الاقتصادية والبيانات الموجودة، إذ تعدُّ أغلب التوزيعات الاحتمالية العشوائية حالات خاصة مرتبطة به. ويوصي الباحث باعتماد نموذج الخطأ المكاني لتباين توزيع كاما متعدد المتغيرات وتقنية الخوارزمية الجينية في نمذجة جميع الطواهر الحياتية، واستخدامه كبديل للانحدار الاعتيادي.

References

المصادر : (9)

1. ابو الشعير، محمود جواد والصراف، نزار مصطفى (2018) " الانحدار الخطى: رؤى من القاعدة الى القمة" ، مطبعة عبد السلام، الطبعة الاولى، كلية الراafدين الجامعه، العراق.
2. الكسو ،ابتهاج عبد الحميد محمد علي (2005). " استخدام الشبكات العصبية في تقدير رتب سلاسل ماركوف مع التطبيق على سلسلة جبل بطمة في محافظة نينوى "، اطروحة دكتوراه غير منشورة كلية علوم الحاسوبات والرياضيات، جامعة الموصل، العراق.
3. علي، عمر عبدالمحسن و هادي، سوسن قاسم (2014) " تقدير نماذج الانحدار الحيزى لنسب الفقر في اقضية العراق للعام 2012" ، مجلة العلوم الاقتصادية والإدارية، المجلد العشرون ، العدد التاسع والسبعين، ص.ص: 337-351.
4. مخليف، حسين خليل عبيد و عبد الرحيم ، مشتاق كريم (2022)" تقدير معلمات انحدار log-logistic باستخدام الخوارزمية الجينية مع تطبيق عملي" ، رسالة ماجستير غير منشورة، كلية الادارة والاقتصاد، جامعة كربلاء، العراق.
5. Abd Alwahab, O. A., & Shimal, A. H. (2023)" **Using the Spatial Error Model to Study The Effect of Location on Rainfall in Iraq**". Al-Rafidain University College For Sciences, (54).
6. Bhaumik, D. K., Kapur, K., & Gibbons, R. D. (2009). "**Testing parameters of a gamma distribution for small samples**". Technometrics, 51(3), 326-334.
7. Fogel D., (1998) "**Evolutionary Computation: The Fossil Record**". Piscataway NJ: IEEE Press.
8. Gallaugher, M.P. & McNicholas, P.D. (2019) "**Three skewed matrix variate distribution**", Statistics & Probability Lettres, vol.145, p.p. 103-109.
9. Koudou, A. E. & Ley, C. (2014) "**Characterizations of GIG laws: a survey complemented with two new result**", Proba. Surv. ,vol. 11 , p.p. 161-176.
10. Salih, S. A. & Aboudi, E. H.(2021)" **Bayes estimators of a multivariate generalized hyperbolic partial regression model**", Int. J .Nonlinear Anal. Appl. 12 No. 2 , pp 961-975.
https://ijnaa.semnan.ac.ir/article_5166.html
11. Sarle , Warren S. , (1994)." **Neural Networks and Statistical Models**", Proceeding of The Nineteenth Annual SAS Vsers Group Internaternal Conference, SAS Institute Inc., Cary, NC, USA.
12. Thede, S. M. (2004). "**An introduction to genetic algorithms**". Journal of Computing Sciences in Colleges, 20(1), 115-123.
13. Yildirim, V., & Mert Kantar, Y. (2020). "**Robust estimation approach for spatial error model**". Journal of Statistical Computation and Simulation, 90(9), 1618-1638.
14. Zhang G., Patuwo B., and Hue M., (1998) "**Forecasting with artificial neural networks: The state of the art,**" International Journal of Forecasting, vol.14